第 55 回 総 会 シンポジウム

免疫からみた結核菌

座 長 東 市 郎

北海道大学免疫科学研究所 受付 昭和55年6月27日

The 55th Annual Meeting Symposium

IMMUNOLOGICAL ASPECTS OF TUBERCLE BACILLI

Chairman: Ichiro AZUMA* (Institute of Immunological Science, Hokkaido University)

Reporters: Ken-ichi YAMAMOTO (Institute of Immunological Science, Hokkaido University)

Yoshihiro YAMAMURA (National Toneyama Hospital)

Atsushi TANAKA (Shimane Medical University)

Tadamitsu KISHIMOTO (Osaka University Medical School)

Takeshi OGURA (Osaka University Medical School)

(Received for publication June 27, 1980)

In this symposium, the immunological aspects of tubercle bacilli were presented and the usefulness of tubercle bacilli as the materials for immunological study was discussed.

Dr. Yamamoto has studied on the mechanism of anti-tuberculosis protection in mice. When BCG cell walls which consist of adjuvant (BCG-CWS) and antigens (protein), were injected intravenously into mice as an oil-in-water emulsion, pulmonary granuloma were produced, and a close relationship was found between the degree of granuloma formation and protection against aerosol challenge with tubercle bacilli.

Dr. Yamamura and his group have clearly shown that experimental cavity formation in rabbits was due to the cell-mediated immune response of host to tubercle bacilli (and tubercle protein). The protein and lipid fractions were purified from mycobacterial cells and the cavity was produced by the injection of the mixture of above protein (antigen) and lipid (adjuvant) fractions but not by each alone in rabbits. The biochemical and immunological mechanisms of experimental cavity formation in rabbits were investigated in detail.

The adjuvant activity and adjuvant-polyarthritogenicity were the characteristic biological activities of tubercle bacilli. Dr. Tanaka has reviewed the recent advance in these fields. Especially the details of N-acetylmuramyl-L-alanyl-D-isoglutamine (MDP) which was established to be the minimum adjuvant-active subunit of bacterial cell walls were summarized. MDP has also been shown to have adjuvant-polyarthritogenicity in rats.

Dr. Kishimoto has reported the selective suppression of anti-DNP IgE antibody response by preimmunization of mice with DNP-conjugated mycobacterial cells, and the selective IgE suppression was shown to be due to the induction of DNP-reactive IgE class-specific suppressor T cells. Furthermore, he has obtained similar results by the administration of antigen (DNP or ovoalbumin)-conjugated 6-O-mycoloyl derivative of MDP. These results suggest the possibility of immunotherapy of allergic diseases.

^{*} From Institute of Immunological Science, Hokkaido University, Kita-ku, Sapporo, Hokkaido 060 Japan.

Recently, the antitumor activity of BCG was shown in experimental tumor systems and human cancer. Dr. Ogura has presented the experimental and clinical results in experimental tumor systems and human lung cancer using BCG cell-wall skeleton (BCG-CWS). BCG-CWS was shown to be effective statistically for the prolongation of survival period of patients with lung cancer. The adjuvant activity on killer T cells and macrophage activation was considered to be immunological bases of antitumor activity of BCG-CWS.

As shown in this symposium, tubercle bacilli are very interesting and useful materials for the study of immunology.

はじめに

座長 東 市 郎

結核症に対する化学療法の進歩による結核患者の減少と共に「結核病学」に対する若い研究者の認識も低下しつつあるように思われる。しかし近年、結核菌に関する生化学的、免疫学的研究は多大な進歩をとげ、新たな生物活性が見出されると共に結核菌の重要性も再認識されようとしている。結核菌は細菌学、生化学、免疫学の上から表1に示すような特色を有している。本シンポジウムにおいて結核菌が現代免疫学の進歩に果たした役割を中心に、結核菌の有する研究材料としての多面性が明らかにされた。

結核感染および防御に関する研究は単に細菌感染モデルとしての基本的問題のみならず、in vivo における細胞性免疫の実験モデルとして極めて重要な意義を有している。山本健一博士はマウスにおける毒力結核菌の経気道感染モデルと種々の菌体成分を用いて結核菌の感染防御機構に非特異的および特異的免疫が関与していること、更にマクロファージ(肉芽腫形成)およびT細胞がエフェクター細胞として重要な役割を果たしていることを明らかにした。

表 1 結核菌の多様性

A. 細菌学的特色

結核症の起因菌 細胞内増殖 | 無験を表記の展開

細胞性免疫--ツ反応, 肉芽腫形成, 空洞形成

B. 生化学的特色

多量の特異的な脂質を含む一抗酸性ミコール酸

- C. 免疫増強活性とアジュバント関節炎誘起活性 Freund の完全アジュバント, ロウD, 細胞壁, MDP など
- D. 他疾患治療への応用

アレルギー疾患の治療―抑制性T細 胞の誘導 癌の免疫療法―マクロファージーキ

癌の免疫療法―マクロファージ,キ ラーT細胞の活性化

免疫制御

結核性空洞形成の機構も細胞性免疫を基盤としていることが、山村雄一教授ら刀根山病院グループによつてウサギにおける実験的結核空洞のモデルで明らかにされ、いまや結核病学の古典的研究として有名であるが、その後刀根山病院グループによつて更に詳細な免疫化学的研究が継続された。前田秀夫博士によつて述べられる空洞形成に関する最近の成績は細胞性免疫を基盤とする疾患モデルの一種として現代免疫学から改めて説明されるであろう。

結核菌が極めて強い免疫増強作用(アジュバント活性)を有することは「Freund の完全アジュバント」をはじめとしてあまりにも有名であるが、結核菌菌体成分のアジュバント活性因子としてロウD、細胞壁骨格が明らかにされ、特にムコペプチド部分が重要な役割を果たしていることが報告された。1974年、Adam らは細胞壁骨格の構成成分のうち、N-acetylmuramyl-L-alanyl-D-isoglutamine (MDP)がアジュバント活性構造最小単位であることを明らかにした。結核菌のもつ興味ある生物活性の一つとして「アジュバント関節炎誘起能」がある。アジュバント関節炎の発症機序はまだ充分に明らかにされていないが、結核菌のもつ免疫アジュバント活性が何らかの関与をなすものと考えられ、結核菌一宿主の相互関係を考えるうえで興味ある材料であり、これらの問題点が田中渥博士によつて述べられた。

結核菌の免疫アジュバント活性を利用したアレルギー疾患の治療に関する基礎的研究が岸本忠三博士らによつて報告された。生体における免疫応答は種々のT細胞のサブセットによつて制御されているが、岸本博士らは結核菌に抗原を共有結合させ、マウスに前処置することにより、IgG 抗体産生に影響を与えず IgE 抗体産生のみを制御する IgE クラス特異的抑制性 T細胞を誘導することに成功した。更に結核菌細胞壁、6-O-mycoloyl-MDPをアジュバントとして用い同様の結果を得ている。以上

の成績は結核菌の免疫アジュバント活性を巧みに利用した「免疫応答の制御」に関する1例である。

結核菌の生物活性のうちで最近注目されているものに抗腫瘍活性がある。現在癌の免疫療法剤として BCG 生菌が広く用いられているが、私共は BCG 生菌より精製した細胞壁骨格が極めて安定で副作用の少なく、かつ優れた抗腫瘍活性を有することを見出した。BCG 細胞壁

骨格は種々の実験腫瘍系およびヒト癌に対し癌免疫療法 剤として明らかな抗腫瘍活性を示した。その後 BCG と 分類上類縁の Nocardia rubra から精製した細胞壁骨格 が BCG 細胞壁骨格と同等以上の生物活性を有すること が見出された。これらの成績は小倉博士によつて要約された。

1. 感染論からみた結核菌

北海道大学免疫科学研究所 山 本 健 一

結核菌が宿主に寄生するための諸条件が満たされて、いわゆる感染が成立すると、その後に引き続いて宿主と結核菌の間に、それまでになかつた新しい環境を互いにもつことになり、動的で多彩な出来事が次々に起こる。それは結核菌のもつ生物学的活性によつて展開される免疫アジュバント活性、肉芽腫形成を含む感染防御活性、ツベルクリン反応惹起、血中抗体産生、結核空洞形成、抗腫瘍活性といつた特徴のある諸現象として広く知られている。これらは結核菌の感染と同時に必然的に始まる免疫のメカニズムの動き、すなわち結核菌の特異的な抗原刺激に対する宿主の応答とその情報の記憶を獲得することによつて成立するものである。このように感染論は免疫を離れて論ずることはできないし、両者の接点は再感染において鮮やかに浮上してくる。

ところで、実験結核症においては使用される in vitro 培養菌およびその菌体画分の活性物質が必ずしも実際に感染に際して宿主で作用している物質の姿を忠実に反映しているか否かは疑問の点が多い。また感染に継起する免疫を感染の全体像から分離して解析することは困難である。これらの点を考慮して、我々はあらかじめ BCGあるいは結核菌体画分で感作して後に感染を行なうという形から言えば再感染論になるが、このような実験結果に基づいて感染論にできるだけアプローチせざるをえないと考えるのである。

以下、私たちが今までに実験結核の仕事を続けてきた 中から結核の感染論を考えるうえで役に立つと思われる いくつかの仕事を紹介してみようと思う。

I. 感染の in vitro での解析の試み

感染が宿主体内に入つた寄生体の増殖であると一応規定して、in vitro での結核菌の増殖が in vivo のそれをどのように反映するかを調べた。細胞内寄生を特徴とする結核菌を静注感染させたモルモットの脾細胞培養を行ない、その間の感染菌増殖率から in vivo の増殖を推定しようと試みた。種々の毒力の結核菌 (H₃₇Ra および INH 耐性菌を含む) および BCG の Dubos 培地10日培養の

一定菌数を静注、その直後から14日まで日を追つて肺、肝、 脾およびリンパ節の生菌数の推移を小川培地還元培養で しらべたのが図1である。他方、感染直後、5日目、10 日目の脾について別に細胞浮遊液をカバーグラス上で培 養し24および72時間の菌増殖率を菌染色像から求めたの が図2である。両図を対比すると、臓器内での菌増殖と 脾細胞共存下の in vitro の増殖の傾向はおおよそ平行し, BCG, H₃₇Ra および INH 耐性菌など弱毒菌は両者で の増殖の低いことが示された。そして毒力菌の in vitro の増殖率は感染直後が高度で、感染後10日となり免疫が 恐らく介入する時期で低くなる傾向がみられ、感染の経 過を考察するうえで興味がある。このことは結核死菌免 疫モルモット脾細胞共存下の同様な結核菌増殖率をしら べ、明らかに抑制されていたことから、この方法が in vitro で免疫の程度を推定する方法12として興味あるのみ ならず感染菌の動態を知る手がかりを与えるものと思わ れる。

II. 結核感染防御における免疫と感染の経路

感染に継起する免疫応答が感染菌のその後の増殖を左右していることは明らかであるが、それを明確にすることは難しい。そこで実験的には再感染の形をとり、しかも液性抗体の感染推移への影響は全くないとは言えないが一応細胞性免疫とのかかわり合いで考えることにする。

あらかじめ oil-treated BCG cell wall をマウスの静脈あるいは皮下に接種4週後に、それぞれ経気道および静脈に M. bovis、Ravenel の感染を行ない、肺内生菌数の推移と生存日数から感染における免疫の影響をしらべた。結果は図3に示した。経気道感染に対しては大量の BCG cell wall が肺に到達する静注群においてのみ防御効果が示された。また静注感染に対しては皮下免疫群は14日以降生菌数の低下がみられ、生存日数では静注免疫群と大差はなかつた。大量の静注感染菌が散布される初期では皮下免疫による効果はみられず、後期で感染菌のもたらす免疫効果も加わつて静注免疫群とほぼ同様な防御が示されたものと思われる。

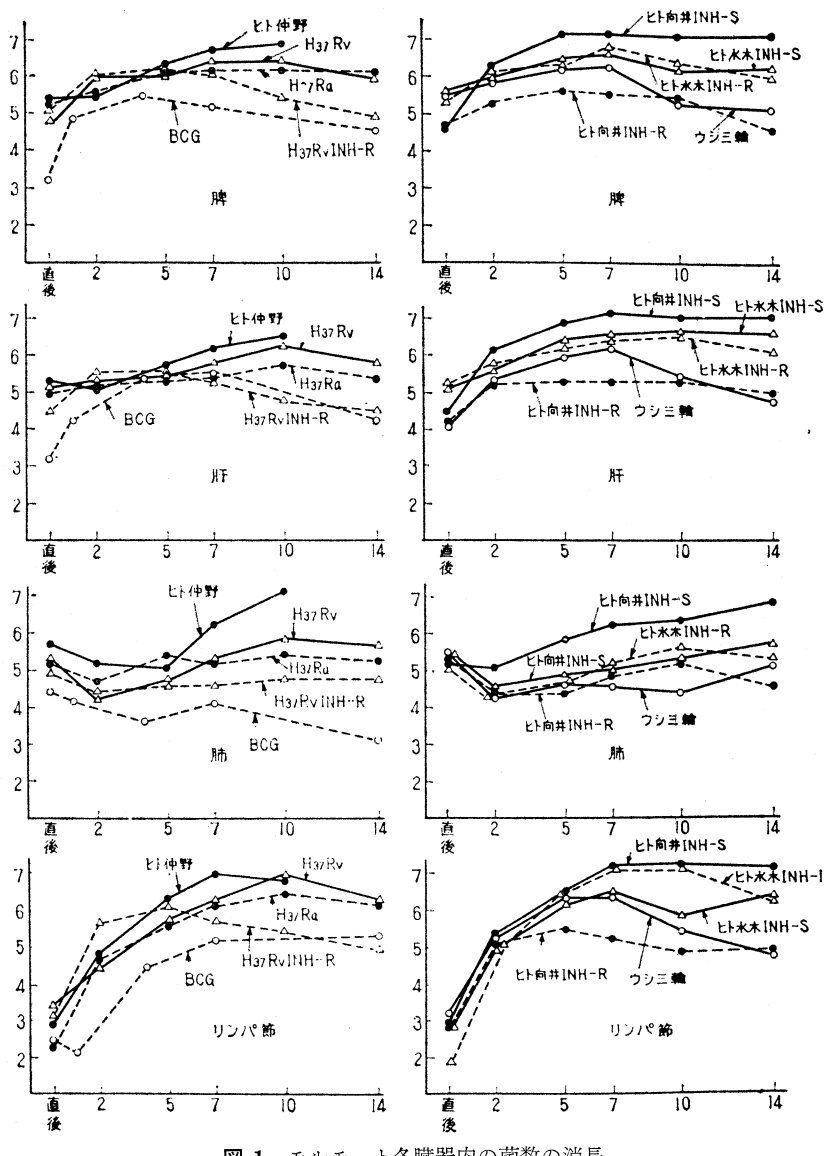


図1 モルモット各臓器内の菌数の消長

ところで経気道感染の場合、特に感染菌の侵入部位である肺の細胞の免疫状態が重要な因子である²。 BCG cell wall の静注免疫群のみが肺細胞の macrophage migration inhibition 活性を示し、感染防御も平行してみられる。この場合、この静注群に抗リンパ球血清投与を行ない肺細胞の MI 活性の低下を起こさせると、感染防御の低下も惹起しえた。また、BCG cell wall 静注免疫マウスに特異抗原である PPD あるいは BCG protoplasm の静注によつて肺における感作細胞の刺激を行なうと恐らく macrophage の活性化を強めることによると思われる感染防御の増強がみられるのである。

III. 感染防御における肉芽腫の意義

結核感染の経過で形成される肉芽腫つまり結核結節は 生体が結核菌に打ち勝つ能力を得たことを明らかに示す ものであることは古くから知られている。実験的に我々 は BCG cell wall ワクチン 静注によつて活性化マクロ ファージの集積とみなされる肺肉芽腫を形成し、これが 経気道感染防御に重要な役割を演ずることを明らかにし た。この肺肉芽腫は BCG cell wall がアジュバント物質と結核特異抗原を含むものであるから、アジュバント 物質の直接作用によつて形成されるものとアジュバント と抗原による細胞性免疫の機序が介入して形成されるも のが考えられる。

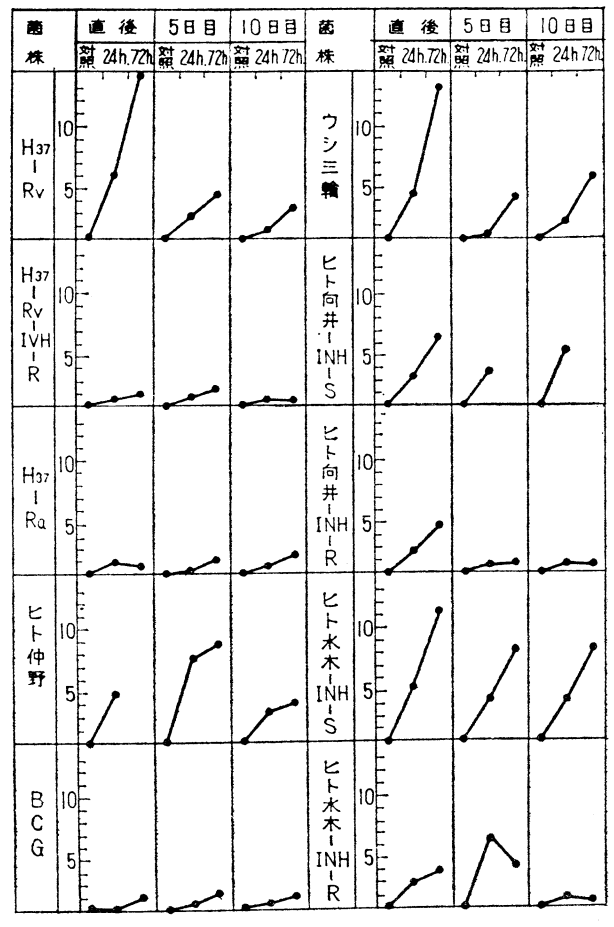


図 2 脾細胞培養における各菌株の菌数の消長

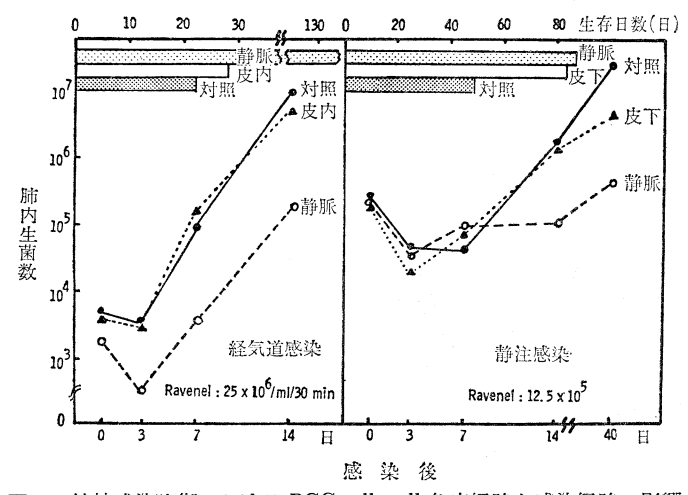


図 3 結核感染防御における BCG cell wall 免疫経路と感染経路の影響

表 1	C57BL/6 と C ₃ H/He マウスにおける 6-O-mycoloyl-MDP と PPD 混合物によ
	る肺肉芽腫形成と Mycobacterium bovis, Ravenel の経気道感染防御効果の比較
	(免疫後1週目に感染を行なつた場合)

マウス	実 験 群	投与量 (μg)b	Lung index (免疫後1週目)	経気道感染後3週目の肺における M. bovis, Ravenel の生菌数
	1) 6-O-mycoloyl-MDP+PPD	300 + 300	1.67±0.57	$2.7\pm\ 2.0(\times10^6)$
C_3H/He	2) 6-O-mycoloyl-MDP	300	1.27 ± 0.18	1.4± 0.6
C311/116	3) PPD	300	0.69+0.12	38.0 ± 4.9
	4) 対照 w/o/w	. —	0.57 ± 0.03	59.6±11.0
	5) 6-O-mycoloyl-MDP+PPD	300+300	1.42±0.09	3.3± 1.5
C57BL/6	6) 6-O-mycoloyl-MDP	300	1.41 ± 0.16	$5.1\pm\ 2.3$
ОЗТВЦО	7) PPD	300	0.87 ± 0.09	49.5± 8.3
	8) 対照 w/o/w ^a	· <u></u>	0.87 ± 0.03	48.7 ± 17.0
			1) vs 2) p<0.02	2) vs 4) p<0.001
			2) vs 4) p<0.001	5) vs 8) p<0.01
			6) vs 8) p<0.001	6) vs 8) p<0.01
			5) vs 8) p<0.001	:

a:エマルジョンの油の最終濃度は3.2%。

表 2 C57BL/6 と C₃H/He マウスにおける 6-O-mycoloyl-MDP と PPD 混合物による肺肉芽腫形成と *Mycobacterium bovis*, Ravenel の経気道感染防御効果の比較(免疫4週後に感染を行なつた場合)

マウス	実 験 群	投 与 量 (μg)b	Lung index (免疫後4週目)	経気道感染後3週目の肺における <i>M. bovis</i> , Ravenel の生菌数
	1) 6-O-mycoloyl-MDP+PPD	300 + 300	0.66 ± 0.04	$47.6\pm17.4(\times10^6)$
C_3H/He	2) 6-O-mycoloyl-MDP	300	0.66 ± 0.03	61.2 ± 15.8
	3) 対照 w/o/w		0.57 ± 0.03	110.9 ± 24.6
	4) 6-O-mycoloyl-MDP+PPD	300 + 300	0.78±0.04	3.3± 0.1
C57BL/6	5) 6-O-mycoloyl-MDP	300	0.67 ± 0.01	94.5 ± 22.0
	6) 対照 w/o/wa)		0.59 ± 0.01	204.0 ± 77.6
			2) vs 3) p<0.001	4) vs 6) p<0.001
			4) vs 5) p<0.001	4) vs 5) p<0.001
			5) vs 6) p<0.001	1) vs 3) 0.02>p>0.01

a:エマルジョンの油の最終濃度は3.0%。

そこで、この2種類の肉芽腫の感染防御効果をしらべた。まず BCG cell wall のアジュバント物質の最小有効単位の N-acetylmuramyl-L-alanyl-D-isoglutamine (MDP) にミコール酸をつけた mycoloyl-MDP のw/o/w エマルジョンの静注を行なうと表1に示すごとく、BCG cell wall 静注の肺肉芽腫形成反応に low responder の C₃H/He マウス³⁾ でも high responder のC57BL/6 マウスと同程度に mycoloyl-MDP 静注1 週後でのみ肺肉芽腫形成と M. bovis、Ravenel の経気道感染に対する防御が認められた。この肉芽腫は short lastingで、しかも T cell の関与を要しないことは胸腺切除、X線照射、骨髄細胞移入のBマウスにおいても形成されることから明らかである。次に感作 T cell 関与の肉芽

腫について述べると、我々は BCG cell wall 静注肉芽腫形成は細胞性免疫の機序が関与している証拠を既に報告している 4 。例えば B マウスでは明らかに肉芽腫形成は低下する。このアジュバントと特異抗原による肉芽腫形成のモデルとして mycoloyl-MDP+PPD を w/o/wエマルジョンとして静注した結果は表 2 に示した。前述の mycoloyl-MDP 単独による肉芽腫がほぼ低下した4週では BCG cell wall 肉芽腫形成 high responder の C57BL/6 マウスのみが肉芽腫形成と経気道感染に対する防御を示し、low responder の 2 0H/He マウスでは両反応がみられなかつた。このような細胞性免疫の機序が関与する肺肉芽腫は長く続き、感染菌に対しまず活性化マクロファージが対応し、その間に感染菌と T cell と

b:各群10匹の5週齢のマウスに静脈内に注射。

b:各群10匹の7週齢のマウスに静脈内に注射。

1980年10月

の interaction でマクロファージの活性化が増強され感 染防御がもたらされたものと思われる。また、BCG cell wall ワクチンと BCG 生菌接種後4ないし28 调に4 调 の間隔でマウスにおける肺肉芽腫形成と経気道感染に対 し肺内生菌数でしらべた感染防御との関係をみた結果, 初期では肺肉芽腫形成の高度な BCG cell wall の防御 がすぐれ、その後、肺肉芽腫形成が依然として高く維持 される BCG cell wall 群の感染防御と肺肉芽腫形成が やや劣る BCG 生菌群の感染防御とに差がなくなること が明らかにされた。この事実は免疫の初期では BCG cell wall ワクチンのアジュバント物質の含量からいつ ても,この群で肺肉芽腫が早期に作られ活性化マクロフ ァージの集積が効率よいため感染防御が強力に発現され ることになるが、免疫後一定期間を経ると BCG 生菌群 でも BCG cell wall 群でも感作T細胞と感染菌を介し ての活性化マクロファージの増強が主力となることを示 唆していると思われる。

最後に、結核の感染免疫を考えるうえで、我々は同じ 細胞内寄生菌のリステリヤのそれから得た知識に負うと ころがはなはだ多い。例えば感染防御に働く活性化マク ロファージの誘導は感作T細胞と特異抗原の相互作用と いう特異性がからんでいるが、誘導された活性化マクロ ファージの抗菌作用は非特異的で、BCG cell wall 免疫 マウスでリステリヤ感染阻止がみられる事実もリステリヤ実験結果から理解される1例である。しかし、結核とリステリヤでかなり様相を異にしている点もある。例えばリステリヤ免疫が細胞性免疫に移行した時期についての感染防御の場合、生菌免疫の顕著な防御効果は結核と対比しても慎重に検討する必要がある。

以上,結核菌感染では必然的に起こる免疫応答によつ て結核菌の増殖に大きな影響が及び,感染の帰転が左右 されることが充分に理解されよう。

上述の実験について、北海道大学免疫科学研究所の有 馬純、加藤一之、 柿沼光明、 奥山春枝、 東市郎、 米国 NIH, Rocky Mountain Laboratory の Dr. E. Ribi, Dr. R. L. Anacker の皆様のご協力を深謝します。

対 対

- Arima, J. and Yamamoto, K.: Compt. rend. Soc. Biol., 154: 1700, 1960.
- 2) 山本健一: 結核, 51:453, 1976.
- Yamamoto, K. and Kakinuma, M.: Microbiol. Immunol., 22: 335, 1978.
- 4) 加藤一之他: アレルギー, 28:392, 1979.

2. 空 洞 形 成 と 細 胞 性 免 疫

国立療養所刀根山病院 前田秀夫,山村好弘,小川弥栄富野郁子,田原留之助,鈴木末宏

山村らは人間の肺結核によく似た空洞を, 実験的に動 物の肺に形成する方法を見出した。そしてこの方法を用 いて研究を行ない、これらの空洞が、肺内に注射された 結核菌と、宿主との間の結核性免疫反応の結果形成され ることを明らかにした1)。 その理由を列記すると次のご とくである。1) 空洞は、 結核菌の生菌のみならず死菌 を肺内注射しても形成され、その際ツベルクリン反応 (以下「ツ」反応と略記) も陽性となる。2) あらかじめ 結核菌で感作した動物を用いると, 更に高率に, 迅速に 空洞が形成される。3) 結核菌を肺内に注射した後, tuberculin active peptide (TAP) の頻回注射を行なつ て減感作すると空洞形成は抑制される。 そのさい TAP および PPD を抗原とする皮内反応 および 肺胞マクロ ファージ (以下 Mø と略記) の遊走阻止反応も陰性とな る。しかし、結核菌の多糖体に対する血清抗体価には影 響を認めない²⁾。またイムラン, 6-メルカプトプリン, コーチゾン, 抗淋巴球血清等を投与しても空洞形成は阻 止される。生菌を用いた場合には、化学療法と免疫抑制 剤を併用することにより空洞形成を抑制できるが、化学

療法のみでは空洞形成を阻止できない³⁰。4)結核菌で感作した動物からの免疫血清を移行しても空洞形成や「ツ」 反応には影響を認めない。このような結果から,空洞形成には結核菌と宿主との間の細胞性免疫反応が重要な役割を演じており,血清抗体による液性の免疫反応はほとんど関与していないように思われる。

今回は菌体成分を用いて空洞形成を行なつた場合の各菌体成分の役割,空洞形成にいたる肺病巣の酵素活性の推移,リンホカインの関与について,細胞性免疫を中心にして述べる。

実験方法および実験成績

1. 南体成分による空洞形成と細胞性免疫

さきに山村らは結核菌体中から Folch の方法⁴ でリポ 蛋白を抽出し、この物質が最も強い空洞形成能を持つて いることを報告した¹⁾。我々もこの物質 3 mg を兎の肺 内に注射することによつて、6 週後に86%の割合で巨大 空洞が形成されることを認めた。そこでこのリポ蛋白を Sephadex LH-20 column chromatography によつてリピ

Challenged antigen	Class	ification of lur	ng lesions*	Cavity-forming	Skin reaction	
into lungs	Cavitary	Necrotic	Necrotic Granulomatous rate(%)		with PPD**	
Heat-killed M. tbc. H ₃₇ Rv	6/12	4/12	2/12	50%	6/7	
Lipoprotein of M. tbc. H ₃₇ Rv	12/14	2/14	0/14	86%	1/7	
Lipid fraction						
It***	0/8	0/8	8/8	0%	0/6	
Ip	0/6	1/6	5/6	0%	0/4	
Protein fraction						
IIt	0/6	0/6	6/6	0%	0/6	
$_{ m IIp}$	0/11	0/11	11/11	0%	0/9	
Recombination of lipid and protein fraction						
It + IIt	3/11	4/11	4/11	27%	0/7	
It + IIp	4/9	5/9	0/9	44%	0/5	

Table 1. Cavity-forming Activities of Heat-killed Cells, Lipoprotein, and Subfractions of Mycobacteria

ッド部と蛋白部に分離した。そして M. tbc., H_{37} Rv, M. phlei リポ蛋白から分離したリピッド部を It, Ip,蛋 自部を IIt, IIp とそれぞれ命名した。t は M. tbc., $H_{37}Rv$ のリポ蛋白から、p は M. phlei のリポ蛋白から 分離されたという意味である。そしてIt, IIt, Ip, IIp 各 単独を兎の肺内に注射しても空洞は形成されなかつたが、 It+IIt, It+IIp のように両者を混合して兎の肺内に注 射すると空洞が形成された⁵⁾ (Table 1)。この場合, リピ ッド部と蛋白部に分離した後混合して注射した場合には, もとのリポ蛋白に比べて空洞形成率を低下する。なお PPD による皮内反応、角膜反応は、このような菌体成 分を用いた場合いずれも陰性であつた。これらの結果か ら空洞形成と,「ツ」反応は菌体成分を用いた場合相関 しないことが認められた。またリピッド部と蛋白部を混 合することにより、空洞が形成されることから、空洞形 成を行なう抗原は蛋白であり、リピッド部はアジュバン トとして蛋白の抗原性を高めているように考えられる。

そこでリピッド部の It を thin layer chromatography にて成分を分析すると cord factor, neutral lipid, free mycolic acid, trehalose monomycolate, cardiolipine, phosphatidyl-ethanolamine, phosphatidyl-glycerol, lysophospholipid 等多数のリピッドが含まれており、これらのリピッドのどの部分にアジュバント活性が存在するか不明である。そこでアジュバント作用があると考えられる次の物質を使用した。すなわち BCG-cell wall, cord factor, acetylated wax D-6, phosphatidyl-inositol-

oligomannoside, MDP(MurNAc-L-Ala-D-isoGln), MTP (MurNAc-L-Ala-D-isoGln-L-Lys-D-Ala) 各 1.5 mg と 蛋白部 IIp 1.5 mg を混じて兎の肺内に注射して、6週間に屠殺した。その結果は Table 2 に示すごとく、BCG-cell wall, cord factor と IIp を混じたときのみ空洞が形成され、他のアジュバント物質と IIp を混じた場合には空洞は形成されなかつた。もちろんリピッド、cell wall、アジュバント物質、IIp 各単独では空洞は形成されなかつた。また皮内反応は PPD、IIp を抗原として用いた場合ほとんどが陰性であつた。ただ BCG-cell wall は微量の蛋白を含むため、PPD による皮内反応は 陽性となる。これらの結果から、現在のところすべてのアジュバント物質が、菌体蛋白の抗原性を高めて空洞形成を行なうとは限らない。また皮内反応と空洞形成とは異なつた細胞性の免疫反応ではないかと考えられる。

なお cord factor+IIp を注射して空洞形成を行なつた場合, 肺胞 $M\phi$ の遊走阻止反応は IIp を抗原とする場合のみ阻止されたが、 PPD では阻止されなかつた (Table 3)。 肺胞 $M\phi$ の遊走阻止反応のみが現在のところ空洞形成と相関するようである。

2. 空洞形成と肺蛋白分解酵素, Mø との関係

空洞形成が行なわれる以上、肺組織が蛋白分解酵素によって分解され、その結果軟化融解が行なわれるものと考えられる。そこで結核加熱死菌 2.5 mg(乾燥量)を前述の方法で、あらかじめ結核死菌で感作した兎および非感作の兎の肺内に注射し、一定日数ごとに屠殺して、肺の自己蛋白分解活性を測定すると Fig.1 のごとくになる。

^{*} The first number is the number of lungs that produced the lesions corresponding to the classification; the second number is the total number of lungs where the lesions were produced.

^{**} The first number is the number of rabbits that showed positive tuberculin hypersensitivity; the second number is the number of rabbits tested. Skin reaction were done with 30 µg PPD.

^{***} It: lipid fraction of lipoprotein from M. tbc. H₃₇Rv; Ip: lipid fraction of lipoprotein from M. phlei; IIt: protein fraction of lipoprotein from M. tbc. H₃₇Rv; Ip: protein fraction of lipoprotein from M. phlei.

1980年10月

Table 2.	Lung Lesions and Skin Reactions after an Intrapulmonary Injection of IIp
	Mycobacterial Lipids or Adjuvants

Challenged antigen		Classification	n of lung lesions**		Skin rea	ction+
into lungs*	Cavitary	Necrotic	Granulomatous	Scar	PPD++	IIp+
BCG-cell walls+IIp	4/10		6/10		5/6	0/6
Cord factor+IIp	3/11	5/11	3/11		0/6	2/6
Acetylated wax D-6 +IIp	7		10/11	1/11	0/7	0/7
Phosphatide*** + IIp			12/13	1/13	0/7	0/7
MDP+IIp		1/10	9/10		1/7	3/7
MTP + IIp	The second secon		8/8		0/5	0/5
IIp			11/11		0/7	0/7
BCG-cell walls	1/11		10/11		6/7	0/7
Cord factor			0/8		0/6	
Acetylated wax D-6			10/11	11/11	0/6	0/6
Phosphatide			11/11		0/6	0/6

^{*} Challenge dose into a lung: IIp:1.5 mg+mycobacterial lipid or adjuvant:1.5 mg in the mixture, or 3 mg of each substance alone.

Table 3. Migration Inhibition Test of Alveolar Macrophages from Rabbits Intrapulmonarily Injected with Cord Factor+IIp, or Cord Factor Alone (Expressed by Migration Index at 48 hours culture)

Challenged antigen	Anti	gen in cultu	ulture**	
into lungs*		PPD	IIp	
		80%***	55%	
		85%	54%	
Cord factor+IIp		82%	59%	
Cora more (86%	65%	
		88%	63%	
	Mean	84%	59%	
		86%	103%	
		103%	118%	
0. 14		91%	113%	
Cord factor		130%	168%	
		79%	83%	
	Mean	98%	117%	

^{*} Challenge dose into a lung: cord factor: 1.5 mg+IIp: 1.5 mg, or cord factor: 3 mg alone.

すなわち非感作の兎では、結核死菌注射後、漸次蛋白分 解酵素活性は上昇し、3週目が最高となる。そしてその 頃から壊死があらわれ、やがて1~2週おくれて空洞が 形成されてくる。これに対して、結核菌であらかじめ感 作された兎では、急速に蛋白分解酵素活性が上昇して2 週で最高となり、壊死があらわれ、その後1週で空洞が 形成されて、蛋白分解酵素活性は低下してくる。また肺 重量も蛋白分解酵素活性の増減に比例する。そこでこれ らの現象が どのような 原因で 起こつているかを 観察す るため、 非感作兎に 結核死菌を注射して 3週目の 兎に Myrvik の方法6) で気管枝を通じて saline を注入し、肺 胞 Mø を洗い出した。対照として正常兎の肺から,同じ 操作を行なつて $M\phi$ をとり出し、 $M\phi$ 数と、N-acetyltrialanyl-methyl-ester を基質とする酵素活性を比較した。 その結果は Table 4 に示すごとく, 結核菌を注射した兎 では、1 匹当り約 4 倍の数の Mø がまた 1 Mø 当り約 1.6 倍の酵素活性と蛋白質を有していることが判明した。し たがつて1匹当り全 Mø で約6.5倍の酵素活性を示し た。これらの結果から、結核菌を注射された兎では、病 巣の炎症反応が進行するに従つて、細胞性免疫反応が増 強し、感作リンパ球の指令によつて多量の activate され た Mø が病巣に集合してくるように思われる。

^{**} The first number is the number of lung that produced the lesion corresponding to the classification; the second number is the total number of lungs where the lesions were found.

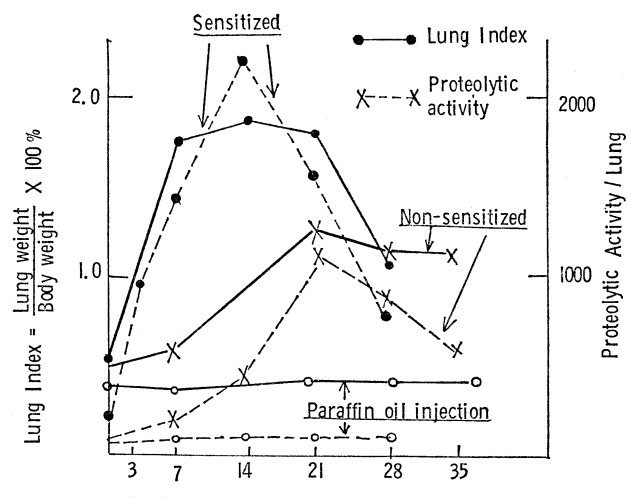
^{***} Phosphatidyl-inositol-oligomannoside.

⁺ The first number is the number of rabbits that showed positive tuberculin hypersensivity; the second number is the number of rabbits tested.

⁺⁺ Used dose: $30\mu g$ PPD or $100\sim200\mu g$ Hp per 0.1 ml saline.

^{**} Antigen concentration: $30\mu g$ of PPD or IIp per ml of culture media.

^{***} Migration Index (%) = Mean area with antigen Mean area without antigen ×100%



Days after the intrapulmonary injection of killed T.B.

Fig. 1. Weight and proteolytic activity of lungs after receiving an intrapulmonary injection of killed tubercle bacilli in paraffin oil or paraffin oil alone.

Table 4. Enzyme Activity of Macrophages from Normal Lung and Killed Tubercle Bacilli-injected Lung of Rabbits

	Macrophage from normal lung	Macrophage from killed tubercle bacilli-injected lung
Recovery of macrophage from a rabbit Cells/rabbit Protein/total macrophages	(1.00±0.43)×10 ⁸ 26.8 ± 5.0 mg	$(3.89 \pm 0.52) \times 10^{8}$ 143.0 ±33.0 mg
Enzyme activity*		
Activity/rabbit	$8.2 \pm 3.3 \mathrm{U}$.	$50.0 \pm 3.1 \mathrm{U}.$
Activity/mg protein	$0.31 \pm 0.11 \text{ U}.$	$0.37 \pm 0.09 \mathrm{U}$.
Activity/108 macrophages	$8.3 \pm 1.0 \mathrm{U}$	$13.1 \pm 0.9 \mathrm{U}$
Protein mg/10 ⁸ macrophages	29.6 ±8.6 mg	$38.1 \pm 10.2 \mathrm{mg}$

^{*} Substrate: N-acetyl-L-trialanyl-methylester

3. 空洞形成とリンホカイン

上に述べた実験から結核病巣には多数の $M\phi$ が集合することが認められるが、そのさいのリンパ球より産生されるリンホカイン (以下 LK と略記) の役割について考察した。LK の調整は田原の方法によつて、まず結核死菌で感作した兎の気管に TAP 5 mg を saline に溶かして注入し、24時間後に屠殺して、Myrvik の方法にて saline で肺を洗浄した。そしてその洗浄液より不溶物を除いた後透析して、その内液を凍結乾燥させたものを LK として使用した。このものはすでに田原によつて migration inhibitory factor、skin reacting factor、transfer factor の活性を有することが認められている。

そして LK 20 mg+TAP 5 mg, LK 25 m, TAP 5 mg をそれぞれ鬼の肺内に注射して1週後に屠殺剖見した。その結果 LK+TAP を注射した 群では 軽度の 壊死と $M\phi$ の多数の集合を認めたが,LK および TAP のみの注射では $M\phi$ の集合を認めたが,壊死は全く認められなかつた。しかしいずれの場合でも類上皮細胞のような結核病巣特有の組織像は認められなかつた。なお LK を注射した群の半数が「ツ」反応陽性を示した。これらのことから,LK によつて $M\phi$ が大量に肺内注射部に集合するが,空洞は形成されないことを認めた。したがつて空洞形成には,これらの集合した $M\phi$ が食菌を行ない,それに伴う $M\phi$ の破壊等による lysosomal enzyme

の放出による組織の消化が必要なのではないかと考える。 特に結核菌は多量のリピッドを含有しており、そのリピッド中にはミコール酸のような消化しにくい物質もあり、 これらが Mo に傷害を与えるのではないかと考える。

結 語

1) 結核性空洞は、結核菌と宿主との細胞性免疫反応の結果形成される。このさい血中抗体はほとんど関与しないように思われる。そして生菌または死菌体を抗原として使用するかぎり、空洞形成とツベルクリンによる皮内反応、角膜反応、肺胞 $M\phi$ の migration inhibition test の陽性度は相関する。 2) 菌体成分を用いた場合には、空洞形成と「ツ」反応、角膜反応は相関しないが、肺胞 $M\phi$ の遊走阻止反応とは相関するようである。 3) 空洞形成の抗原となるのは菌体蛋白であつて、菌体リピッドがアジュバントとしてその抗原性を高めている。 4) 病

巣部にはリンパ球の指令により多量の activate された $M\phi$ が集中し、蛋白分解酵素活性が上昇する。5) しかし単に $M\phi$ の集合のみでは空洞は形成されない。 菌体の食菌による $M\phi$ の破壊その他により 放出される酵素が、組織の軟化融解を起こすのではないかと考えられる。

文 献

- 1) Yamamura, Y.: Adv. Tuberc. Res., 9:13, 1958.
- Yamamura, Y. et al.: Am Rev Respir Dis, 109: 594. 1974.
- Yamamura Y. et al.: Am Rev Respir Dis, 98: 720, 1968
- 4) Folch, J. and Lees, M.: J. Biol. Chem., 191:807, 1951
- Maeda, H. et al.: Am Rev Respir Dis, 115:617, 1977.
- 6) Myrvik, Q.N. et al.: J. Immunol., 86: 128, 1961.

3. アジュバント活性およびアジュバント関節炎

島根医科大学生化学 田 中 渥

結核菌はアジュバント活性を有している。つまり蛋白抗原に結核菌を添加して、フロイント型の油中水型エマルジォンの形で注射すると、抗体産生量が増加し、また遅延型過敏症が誘導される。後者は特に結核菌アジュバントの特徴である。もし、抗原を用いないで、結核菌のみをフロイント型エマルジョンの形でラットに注射すると、アジュバント関節炎が誘起される¹⁾。これは種々の点で人間の慢性関節リューマチに似ている。

アジュバント活性を荷う最小構造は細胞壁のペプチドグリカンを構成する単位、muramyl dipeptide (MDP)であることが1974年明らかにされた。我々は MDP がアジュバント関節炎を誘起することを最近明らかにすることができた。与えられたテーマはアジュバント活性とアジュバント関節炎であるが、我々は最近 MDP がマクロファージを活性化し、肉芽腫を形成することをも見出し、お互いに関連があるように思われるので、これらも一緒に論じることにする。

1. MDP によるマクロファージの活性化

我々は MDP がモルモット、ラット、マウスのマクロファージを活性化することを見出した。モルモットの腹腔浸出マクロファージを用い、MDP の種々の類似体を用いてしらべたところ、アジュバント活性を有する類似体はマクロファージを活性化するが、アジュバント活性を有さない類似体は活性化しなかつた。活性化されたマクロファージはプラスチック面上で伸展することがわかつている 2 。Fig 1 は各 MDP 類似体によるマクロファージ活性化を伸展するマクロファージ

である。アジュバント活性を有する類似体はマクロファ ージを伸展させる。つまり、活性することがよくわかる。 我々はすでに、グルコサミンのとりこみ、グルコース酸 化,マウス網内系貪食能の増加3),マクロファージの遊 走阻止4, 等の種々の指標を用い全く同じ結果を得てい る。マクロファージが免疫反応,特に遅延型過敏症の誘 起に重要な働きをしていることはよくわかつている。し たがつて、上記の我々の実験結果から、結核菌のアジュ バント活性発現に、マクロファージの活性化が重要な役 割を演じていることが示唆される。果たしてそうである か現在検索中である。MDP によるマクロファージの活 性化にリンパ球が関与するかどうかは、 解明されるべき 重要な点である。我々はモルモットの腹腔浸出細胞を用 いてこの問題をいくつかの手段を用いて検討した。その 結果, MDP はリンパ球の関与なしにマクロファージを (少なくともハートレイおよび JY-1 の腹腔浸出マクロ ファージを)活性化することがわかつた。Fig 2 は,結核 感作モルモット由来マクロファージの伸展を指標として 得られた結果である。図から明らかなように MDP はマ クロファージを活性化するが PPD は活性化しない。マ クロファージに同じ動物由来の感作リンパ球をまぜれば, MDP のみならず PPD も、マクロファージを活性化す るようになる。ただし、PPD は一定の潜伏期を経て活 性化する。このことは、おそらく MDP は直接に、PPD はリンフォカインを介して、マクロファージを活性化す ることを示唆している。

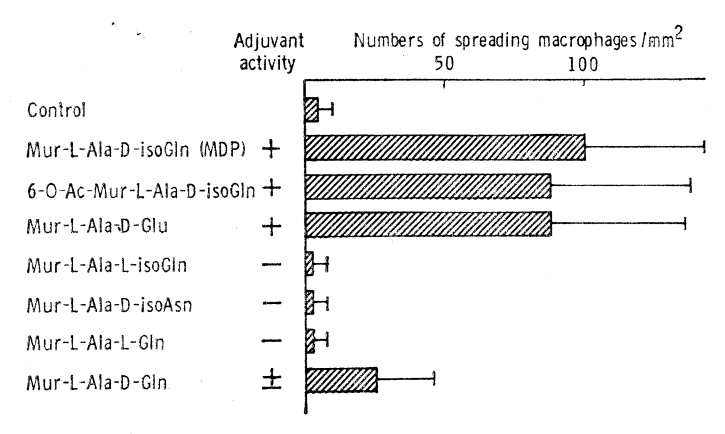
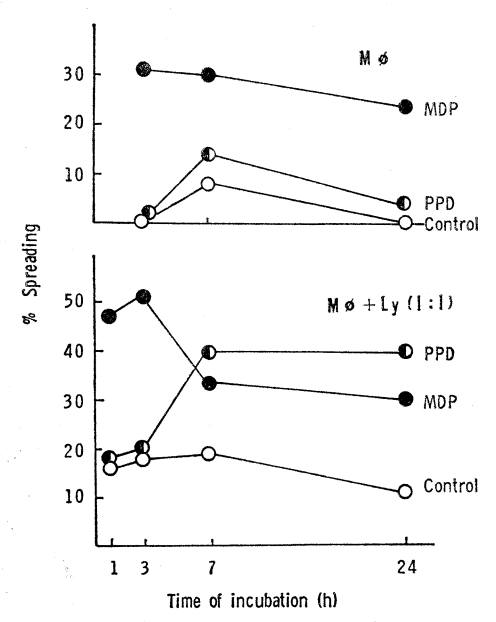


Fig. 1. Effect of MDP and its Analogs on Macrophage Spreading.

Table 1. Relationship among Biological Activities of MDP and its Analogs

	Adjuvant	Mφ sti	$\mathrm{M}\phi$ stimulation	
	activity	in vivo	in vitro	formation
Acetyl-MDP	+	+	+	+
Mur-L-Ala-D-isoGln(MDP)	+	+	+	+
Mur-L-Ser-D-isoGln	+	+	+	+
Mur-L-Ala-D-Glu	+	+	+	+
Mur-L-Ala-D-Gln	±	±	±	土
Mur-L-Ala-L-isoGln	_	-		-
Mur-L-Ala-D-isoAsn	_	_	_	_



Macrophages and lymphocytes were obtained from tubercle bacilli-sensitized guinea pigs.

Fig. 2. Difference in macrophage spreading enhancement by MDP and antigen.

2. 類上皮細胞肉芽腫形成

MDP は類上皮細胞肉芽腫をつくることを既に我々は報告した5。MDP 類似体を用いて調べた結果,アジュパント活性を有する類似体のみが肉芽腫を作つた(Table 1)。MDP の水溶液は肉芽腫形成能を全く示さなかつた。MDP が肉芽腫形成能を示すためには,油中水型(フロイント型)エマルジョンの形にするか,高級分枝脂肪酸と共有結合により結合させるか,つまりリピドと強く'associate'させることが必要と思われる。次に重要な点は MDPによる肉芽腫形成にTリンパ球は必要でないと思われることである。つまり,MDP は新生時胸腺摘出ラットに無処置対照群と同程度の強い肉芽腫形成を示した。また予備段階であるが,胸腺機能が先天的に欠除しているヌードラットでも同じことが観察された。

3. アジュバント関節炎

従来 MDP は アジュバント関節炎を 誘起しないとする報告が日本,フランス,アメリカから出されていた。 最近,我々は MDP がアジュバント関節炎を 誘起しうることを見出した 6 (Fig 3)。ところが,新生時胸腺摘出ラットはアジュバント関節炎を発症しなかつた (Table 2)。このことは,アジュバント関節炎発症には Tリンパ球の関与が必要であることを示している。一方,MDP の抗

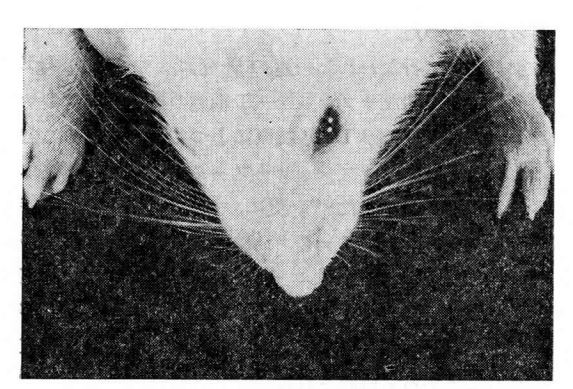


Fig. 3. Adjuvant arthritis induced by MDP.

Table 2. Induction of Arthritis by MDP

— (Difco FIA)	0/14	
MDP (Difco FIA)	11/18	
MDP (Difco FIA) neonatally thymectomised	0/16	
MDP (Difco FIA)+ovalbumin	0/8	
MDP (Arlacel A+Drakeol)	0/26	

Table 3. Requirement for MDP Activity

Activity of MDP	Antigen	T cells	Lipid
Macrophage activation	_	_	_
Granuloma formation		_	+
Arthritis induction	_	+	+
Adjuvant activity	+	+	+

原性は今のところ見つけられていない。このことは,ア ジュバント関節炎発症に自己抗原が関係していることを 示唆しているように思われる。

まとめ

結核菌が示す主な生物活性の中で、マクロファージ活性化、肉芽腫形成、アジュバント関節炎誘起、アジュバント活性発現等の活性を荷う最小構造は MDP である。これら諸活性の発現と、抗原、Tリンパ球、リビド等の要求性を簡単にまとめると Fig.3 のようになる。

終わりに,この仕事を担当して下さつた教室の諸兄姉, 江森浩三先生,貴重なサンプルを頂いた小谷尚三教授, 芝哲夫教授,楠本正一博士,種々の援助を頂いた田中健 蔵教授,岩井和郎博士,岩田康博士,小橋修博士,太田 房雄博士,井上勝美博士に深謝いたします。

文 献

- Pearson, C.M.: Proc. Soc. Exp. Biol. Med., 91: 95, 1956.
- Blanden, R.V.: J. Reticuloendothel. Soc. 5: 179, 1968.
- 3) Tanaka, A. et al.: Infect. Immun., 24:302, 1979.
- 4) Nagao, S. et al.: Infect. Immun., 24:308, 1979.
- Tanaka, A. and Emori, K.: Am. J. Pathol., 98: 733, 1980.
- 6) Nagao, S. and Tanaka, A.: Infect. Immun., In press.

4. 結核菌およびムラミルペプタイドを利用した IgE 抗体産生の制御

大阪大学医学部 岸 本 忠 =

IgG 抗体の産生に効果を示す結核菌アジュバントは、 IgE 産生を増強せずむしろ抑制的に働く場合が多い。そ こで我々は結核菌が T 細胞の機能を介して IgE 抗体産 生を選択的に抑制するのではないかと考え、これを実験 的に検討した。はつきりとわかつた抗原 決定基として DNP 基を結核菌に導入し (DNP-Tbc), これをマウスに前投与しておき, 2週間後に DNP-卵白アルブミン (DNP-OA) でこのマウスを免疫し, 抗 DNP IgG, IgE 抗体の産生を誘導することを試みると図1に示すごとく

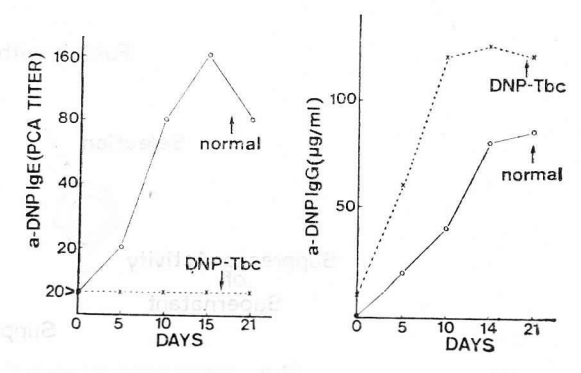


図 1 DNP 結核菌前投与による抗 DNP IgE 抗体 産生の選択的抑制

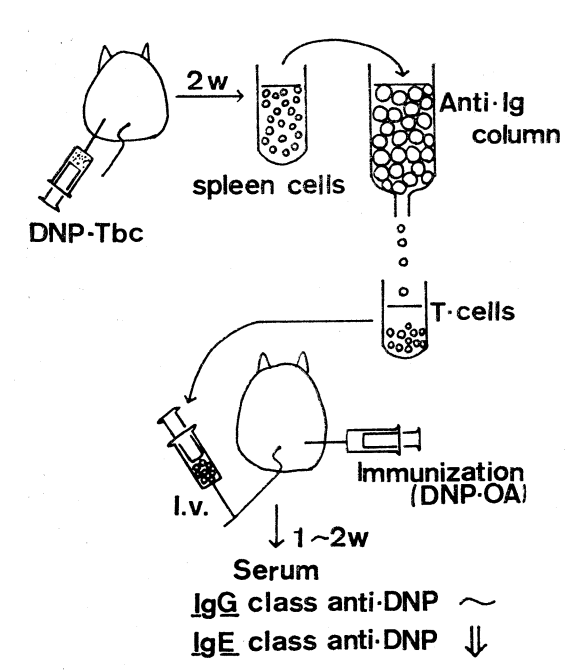


図 2 DNP-Tbc 感作T細胞の移入による IgE 抗体産生の選択的抑制

DNP-Tbc を前投与しておくことにより抗 DNP IgE 抗体の産生誘導が完全に抑制されることが明らかとなつた。しかるに抗 DNP IgG 抗体の産生は全く抑制されなかつた。図2に示すように DNP-Tbc を投与されたマウスの脾細胞から T 細胞を精製しこれを正常マウスに投与し、DNP-OA で免疫すると抗 DNP IgE 抗体の産生が抑制されることから、DNP-Tbc 投与による抗 DNP IgE 抗体産生の選択的抑制は IgE クラスに特異的なサプレッサーT細胞が誘導された結果であることが

明らかとなつた。

引き続いて行なわれた一連の研究によつてこの IgE クラスに特異的なサプレッサー T 細胞の機能は、このサプレッサー T 細胞が DNP 抗原によつて刺激されることによつて遊離するサプレッサーファクターによつて媒体されることがわかつた 340 。 更に、この IgE クラスに特異的なサプレッサーファクターは抗原特異性をもたず、H-2 の抗原決定基を有し、その標的細胞は IgE B 細胞であることが明らかとなつた。このことは IgE 産生 B ハイブリドーマによつて、このファクターの活性が吸収されることからよ確認された。

このファクターの性状を明らかにすることは、IgE 産生を抑制する物質の開発にもつながるものである。そこで我々は大量にこのファクターを作る方法として細胞融合法を導入した。 すなわち IgE 抗体産生を抑制するサプレッサーT細胞を何ら機能をもたず増殖を続けている T-リンホーマ細胞株を融合して、増殖しつつサプレッサーファクターを分泌するハイブリッド細胞を作ることを試みたわけである。図 3 に示すような方法によりハイブリッド細胞を作成し、多くのハイブリッドクローンをスクリーニングし、IgE 産生を抑制するサプレッサーファクターを分泌するクローンを見い出した 50 。このクローンの産生するファクターを用いてその性状を解析し、このファクターは H- 2^d の抗原決定基を有し、分子量約 55,000 であり、IgE B 細胞上にはこのファクターに対するアクセプターが存在することが明らかにされた。

以上述べたように DNP 基を結核菌に導入し,これでマウスを免疫することによつて DNP 基に特異的に IgE 抗体産生を選択的に抑制するサプレッサー T細胞が誘導される。したがつて当然考えられることは,あるアレル

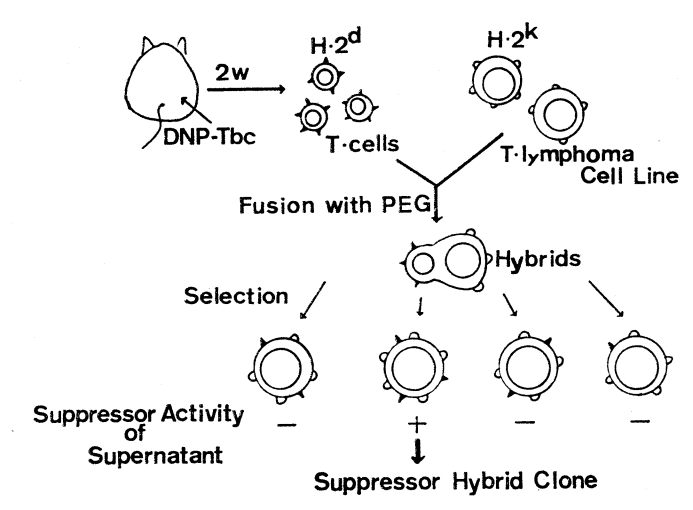


図 3 細胞融合法を用いたサプレッサーハイブリッドの作成

1980年10月

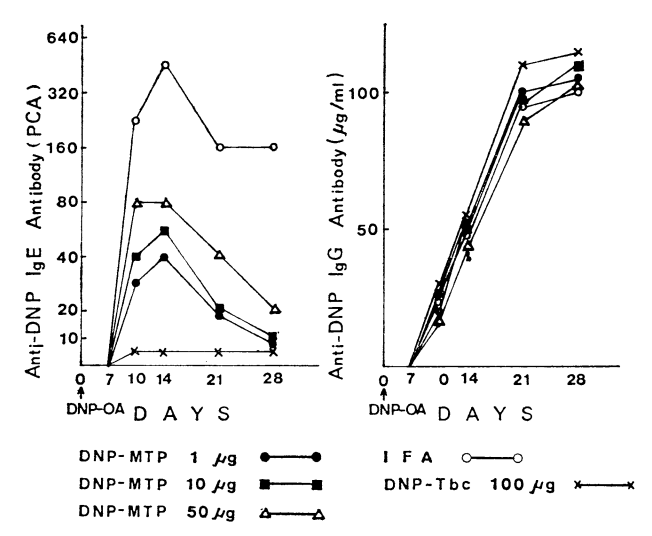


図 4 DNP-ムラミルペプチド前投与による抗 DNP IgE 抗体産生の部分的抑制

ゲンを結核菌に導入してこれを投与すると、このアレルゲンに対する IgE 抗体の産生が抑えられ、アレルギーの有効な治療法となるのではないかということである。しかし結核菌そのものをヒトに投与することには問題がある。そこで我々は結核菌のアジュバント効果を示しうる最少単位であるとされているムラミルペプチドを用いてその効果を検討した。すなわちムラミルペプチドにDNP-lysine を導入し、この DNP-ムラミルペプチドを前投与したマウスを DNP-OA で免疫し、抗 DNP IgE 抗体の産生を追跡した。図4に示すように DNP-ムラミルペプチドの前投与により有意に抗 DNP IgE 抗体の産生は抑制された。しかしその抑制効果は DNP-Tbc 投与によるほど完全なものではなかつた。

そこで我々はこのムラミルペプチドの IgE 産生に対する抑制効果を更に増強するため、結核菌に特有の脂肪酸であるミコール酸をムラミルペプチドに導入、このミコロイール・ムラミルジペプチドに DNP-lysine を導入し(図5)、これをマウスに投与し抗 DNP IgE 抗体産生に対する影響を検討した。 DNP-ミコロイール・ムラミルトリペプチドの前投与により抗 DNP IgE 抗体産生

Mycoloyl - N-Acethylmuramyl - L-Ala-D- iso Gln - L - Lys - DNP (DNP-mycoloyl - MTP)

図 5 DNP-ミコロイール・ムラミルトリペプチド (DNP-mycoloyl-MTP) の化学構造

アレルゲンに対する IgE 抗体産生制御のモデルとしてムラミルペプチドに卵白アルブミンを結合し、これをマウスに 投与することによつて抗卵白 アルブミン IgE

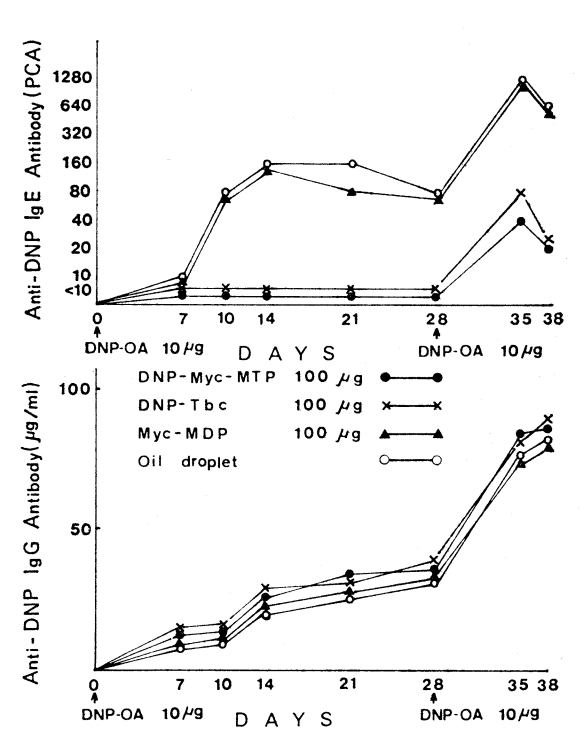


図 6 DNP-ミコロイール・ムラミルトリペプ チド前投与による IgE 産生の抑制

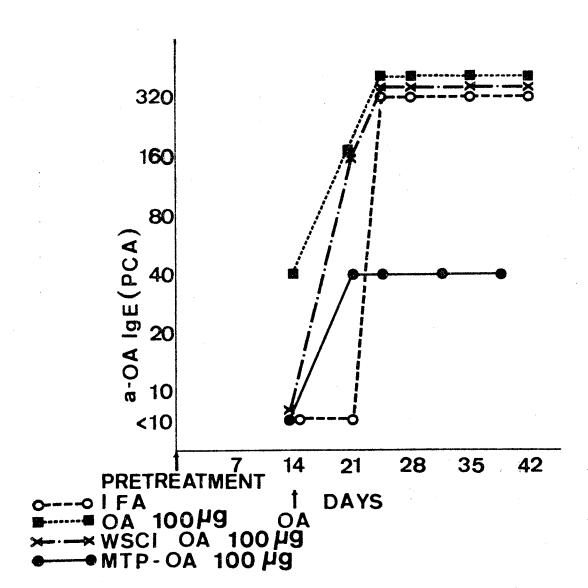


図 7 卵白アルブミン・ムラミルペプタイド前投与に よる抗卵白アルブミン IgE 抗体産生の抑制

抗体産生が抑制されるかどうかを検討したところ,図7に示すようにこの化合物の前投与により抗卵白アルブミン IgE 抗体の産生が有意に抑制されること,この抑制もサプレッサーT細胞の誘導によることが明らかとなつた。

このように結核菌、またはそのアジュバント活性をになう合成化合物はアレルギーの 有効な 治療法開発への道を開くと共に Tリンパ球を介しての IgE 抗体産生の 制御機構を 解析するうえに おいてよい モデルを提供する。

油 文

- Kishomoto, T. and Ishizaka, K.: J. Immunol., 111: 720. 1973.
- 2) Kishimoto, T. et al.: J. Immunol., 117: 396, 1976.
- 3) Suemura, M. et al.: I. Immunol., 119:149, 1977.
- 4) Kishimoto, T. et al.: J. Immunol., 121: 2106, 1978.
- 5) Watanabe, T. et al.: J. Immunol., 121: 2113, 1978.
- 6) Kishimoto, T. et al.: J. Immunol., 123: 2709, 1979.

5. BCG-CWS の 抗 腫 瘍 作 用

大阪大学医学部第3内科

小 倉 剛, 坂 谷 光 則難 波 学, 山 村 雄 一

はじめに

癌患者に抗腫瘍効果を誘導する目的で、 BCG 牛菌を 用いる免疫療法が現在もなお広く行なわれており、米国 NCI 発行の 国際免疫療法登録簿の プロトコールを治療 法別に分類すると、今なお約半数に BCG 生菌が用いら れている。これまで、生化学的、物理的に分画された種 々の BCG 菌体成分の解析結果からみると、 BCG 菌体 の免疫賦活効果, 抗腫瘍効果発現には菌体の細胞壁が関 与していると考えられている。 東らは、細胞壁成分を更 に蛋白分解酵素処理、有機溶媒処理を行ない、ミコール 酸-アラビノガラクタン-ムコペプタイド複合体を精製 し, これを細胞壁骨格成分, cell wall skeleton (CWS) と名付けた¹⁾。CWS は構造的には勿論のこと、「免疫か ら見た結核菌」としての BCG の免疫賦活活性の中心で あり、本シンポジウムでは、この CWS 画分の癌に対す る免疫療法効果について,実験腫瘍での成績に加えて, 臨床成績をも加えて報告したい。

実験腫瘍系での研究

我々は、これまでマウス、ラットの同系腫瘍系を用いて種々の研究を行なつてきたが $^{20-50}$ 、今回は、ACI/N ラットと同系腫瘍 AMC-60 線維肉腫での免疫療法効果を検討した成績について述べてみたい 670 。まず BCG-CWS

の免疫療法効果をみるために、腫瘍細胞をラット下肢筋肉内に移植し、100μgの GWS を腫瘍内に反復注入すると、腫瘤の退縮のみならず、リンパ行性、血行性転移の抑制がみられた (Table 1)。移植する細胞数を増やし、移植部腫瘍が GWS の注入で退縮しない条件下で各臓器への転移をみても、リンパ節転移が有意に抑制されており、ラットは担癌の状態で生存期間が延長した。一方、ラット腹腔内に腫瘍細胞を移植し、その後 BCG-GWSを腹腔内へ注入していくと、腹水貯留が阻止され、生存期間も延長した(Table 2)。

通常 BCG 生菌は、マクロファージに対して生化学的、免疫学的な活性化能が強く、これが抗腫瘍活性の主要因であるとされている。

そこで、BCG-CWS を正常ラットの腹腔内に注入して得た腹腔浸出細胞(peritoneal exudate cells, PEC)と腫瘍細胞を混合し、正常ラットの皮下に移植して腫瘍の生着を見るいわゆる Winn テストを行なうと、Table 3 に示すように抗腫瘍効果が認められた。これら in vivoでの効果を解析するために CWS 活性化 PEC を用いてin vitro テストを行なつた。PEC と腫瘍細胞を低比率で混合培養し、腫瘍細胞増殖能に対する阻害度をみるcytostasis テストや高比率で 125I-UdR 標識腫瘍細胞と培養し cytolysis テストを行なうと、共に強い活性がマクロファージ画分に存在することが明らかとなつた

Table 1. Immunotherapeutic Effect of BCG-CWS

T	tment No of units Tu	TD 1.	Mean tumor		Metastases in			
Treatment	No. of rats	Tumor -b earer	weight (g)	DLN*	P**	lungs	P	
Experiment 1. (Rats were	e inoculated with	1×106 tumor cel	ls and killed on	day 39.)				
None (control)	14	14	19. 2	9)		10)		
Oil alone, i.t., $\times 6$	11	11	16.6	5 } }	0.00085	8 }	0.00954	
BCG-CWS, i.t., $\times 6$	13	8	10.6	$\left\{ \begin{array}{c} 0 \end{array} \right\}$	0.0217	2		
Experiment 2. (Rats were	e inoculated with	1×10^6 tumor cel	ls and killed on	day 33.)				
None (control)	10	10	8.6	3		9 \	0.00547	
BCG-CWS, i.t., $\times 5$	10	4	2. 2	0		$_{2}$ $\{$	0.00347	
BCG-CWS, i.v., $\times 5$	10	7	9.7	0		3 }	0.0198	
Experiment 3. (Rats were	e inoculated with	5×10^6 tumor cel	ls and killed on	day 29.)				
None (control)	9	9	34.8	7 \ 0	. 0152	5		
BCG-CWS, i.t., $\times 5$	9	8	26.8	1 {		. 5		
BCG-CWS, i.v., $\times 5$	9	7	42. 1	$\left\{\begin{array}{c}6\end{array}\right\}$. 0497	5		

In all experiments rats were inoculated with tumor cells on day 0 and treatment with $100\mu g$ CWS was started on day 5 and repeated at 5-day intervals.

Table 2. Immunotherapeutic Effect of BCG-CWS

Treatment	Survivals on			
Heatment	Total rats	Day 40	Day 60	
BCG-CWS, 100μg	6	3	3	
BCG-CWS, $500 \mu g$	5	4	4	
None (control)	6	2	0	

All rats were inoculated with $1\times10^{\circ}$ tumor cells on day 0 and treatment with CWS was started on day 1.

Table 3. Winn Test with BCG-CWS Activated PEC

Treatment for effector cell donor	Inoculation of tumor cells with tumor cell alone	Tumor take/ total rats 16/16
None	PRC, 1×10 ⁷	11/11
$\frac{\text{BCG-CWS}}{500\mu\text{g, i.p.} \times 1}$	PEC, 1×10 ⁷	2/16

A mixture of tumor cells $(1\times 10^{\circ})$ and effector cells were inoculated subcutaneously into the flank of normal rats.

Table 4. Cytostatic Activity of BCG-CWS Activated PEC

Treatment for	Effector to	Whole PEC	Cytostatic index (%)*		P**	
effector cell donor	target cells	Whole FEC	P**	Macrophages	I	
None (control)	5:1	17.4± 2.1				
	10:1	34.5 ± 5.2		25.0 ± 5.1		
Oildroplets	5:1	35.0 ± 8.7	ns***			
	10:1	58.0 ± 10.2	ns	38.1 ± 8.0	ns	
BCG-CWS $500\mu g$, i.p.×1	5:1	51.8 ± 5.1	< 0.005			
	10:1	77.5 ± 4.9	< 0.01	55.8 ± 6.7	< 0.0	

^{*} Target cell number: 1×10° cels. ** Student's t-test. ***ns: not significant.

Table 5. Cytolytic Activity of BCG-CWS Activated PEC

Treatment for	Mean peritoneal	Effector cells Cytolytic inde		ytic index	(%)**	D***
effector cell donor	cell yield	incubated*	Whole PEC P***		Macrophages	PTT
None (control)	1.2×10^7	PRC 1×106	1.2±1.0		-4.2 ± 0.7	
		2×10^6	1.5 ± 0.4		-4.1 ± 0.4	
BCG-CWS 500 μ g, i.p. \times 1	3.9×10^{7}	PEC 1×10^6	28.3 ± 1.0	< 0.001	26. 1 ± 1.0	< 0.001
		2×10^6	39.2 ± 4.4	< 0.001	35.1 ± 3.4	< 0.001

^{*} Number of peritoneal cells incubated in a tube before adhering macrophages.

^{*} DLN: Draining lymph node (Para-aortic lumbar node). ** Fisher's exact probability test.

^{**} Target cell number, 1×10' *** Student's t-test.

	Clinical	50% surviv	Statistical	
Histological cell type	stages	BCG-CWS	Control	significance
All cases	I, II, III	13.5(455)	8.5(380)	p<0.0001
Large cell cercinoma	I, II, III	11.0(22)	7.5(23)	NS
Small cell carcinoma	I, II, III	11.0(65)	5.4(41)	p = 0.0008
Squamous cell carcinoma	III	12.0(123)	8.0(141)	p = 0.0005
Adenocarcinoma	III	12.0(155)	6.5(101)	p = 0.0001
Surgical resection	II	36.0(24)*	23.0(18)	p=0.02
Pleuritis carcinomatosa	III	10.0(32)	6.0(55)	p=0.016

Table 6. Fifty Percent Survival According to Cell Type and Clinical Staging

NS; not significant with Wilcoxon-Gehan test.

Parentheses indicate the number of patients.

(Table 4,5)。これらの実験効果は、CWS の抗腫瘍効果 発現にはマクロファージの活性化が重要な因子であることを示唆している。

臨床的研究

一方, 臨床的には、BCG-CWS はまず教室でメラノ -ムを対象に局所注入療法の効果が検討された後⁸⁾, 当 時、山村教授主宰のもとに肺癌とその胸膜炎を対象に全 国的な規模で治験が行なわれた。治療方針として、まず 第一次療法として、その施設で従来行なわれてきた治療 方針に沿つて化学療法,放射線療法,手術療法など既存の 治療法が行なわれた後に、アジュバント免疫療法として BCG-CWS の追加投与が行なわれた⁹⁾。1974年から1977 年までに組み込まれた患者 455 例の各組織型, 各病期の 生存率を Cutler の生命分析表をもとに Wilcoxon-Gehan の方法によつて、1971年から1974年まで同一施設で治療 した患者380例の生存率と比較検討した。Table 6に示す ように各組織型、病期で有意の生命延長効果がみられた。 特に癌性胸膜炎では局所化学療法に続いて CWS の注入 を行なうと,胸水貯留阻止,胸水中細胞陰性化に加えて, 生命延長効果がみられた¹⁰⁾。

おわりに

結核菌が持つ免疫賦活活性の癌免疫療法への導入が図

られてから既に10年以上になろうとしている。この間の流れとして、生菌から有効画分の製剤化への努力が行なわれてきたが、ここに示した BCG-CWS もその一つであり、現在更に BCG に代わるより優れた菌体源として Nocardia rubra が取り上げられ $^{110-130}$ 、更に厳密な評価を下すべく randomized 方式による trial が開始されている。

文 献

- 1) Azuma, I. et al.: J. Natl. Cancer Inst., 52:95, 1974.
- 2) Azuma, I. et al.: Gann., 65: 493, 1974.
- 3) Ogura, T. et al.: Gann., 69:311, 1978.
- 4) Masuno, T. et al.: Gann., 70: 223, 1979
- 5) Yoshimoto, T. et al.: Gann., 67:737, 1976.
- 6) Namba, M. et al.: Gann., 69:831, 1978.
- 7) Ogura, T. et al.: Cell. Molecul. Biol., 25:7, 1978.
- 8) Yamamura, Y. et al.: Gann., 66: 355, 1975.
- 9) Yamamura, Y. et al.: Cancer, 43:1314:1979.
- 10) Ogura, T. et al.: Gann, Monogr. Cancer Research, 21: 143, 1978.
- 11) Azuma, I. et al.: Gann., 67:733, 1976.
- 12) Azuma, I. et al.: Cancer Immunol. Immunother., 4:95, 1973.
- 13) Ogura, T. et al.: Cancer Research, 39: 4706, 1979.

ま と め

座長東

市 郎

以上各演者によつて明確にされたように、結核菌は結核症の病因菌としてのみならず、現在免疫学の分野にその研究材料として広く応用され、多くの問題を提示している。更に岸本、小倉両博士によつて述べられるように、

アレルギー疾患や癌の治療に貢献する可能性もあり、これらは新しい結核病学の発展応用といえるであろう。

結核菌および結核病学は真に多くの可能性を秘めた夢 多き研究分野といえる。

^{* 75%} survival months